

DOI 10.37539/2949-1991.2024.5.16.024  
УДК 536.2

**Тимченко Татьяна Владимировна**,  
старший преподаватель, РТУ МИРЭА,  
Институт тонких химических технологий имени М.В. Ломоносова,  
Москва, 119571, Россия

**Сафонов Тимофей Сергеевич**, студент  
РТУ МИРЭА,  
Институт тонких химических технологий имени М.В. Ломоносова  
Москва, 119571, Россия

## ТЕОРЕТИЧЕСКИЙ АНАЛИЗ РАСПРЕДЕЛЕНИЯ ТЕМПЕРАТУР В ЦИЛИНДРИЧЕСКИХ КОРПУСАХ ИНТЕГРАЛЬНЫХ МИКРОСХЕМ НА ОСНОВЕ АНАЛИТИЧЕСКОГО И ЧИСЛЕННОГО РЕШЕНИЙ УРАВНЕНИЯ ТЕПЛОПРОВОДНОСТИ

**Аннотация:** При создании современных электронных устройств, важно следить за тепловыделением электронных компонентов, для чего используются расчеты на основе уравнения теплопроводности. В данной работе было рассмотрено аналитическое решение стационарного уравнения теплопроводности в цилиндрической системе координат для заданных граничных условий и последующее сравнение найденного решения с численным решением поставленной задачи.

**Ключевые слова:** уравнение теплопроводности, численное моделирование, электроника, аналитическое решение

### Введение

С развитием электронной промышленности на протяжении последнего столетия возрастает потребность в тщательном расчете тепловыделения электронных компонентов. Неконтролируемое тепловыделение приводит к энергетическим потерям и снижению срока службы устройства. Поэтому возникает необходимость в моделировании процесса тепловыделения, а именно в изучении влияния параметров материала и размеров корпуса устройства для оптимизации поверхностной температуры.

При изучении любых тепловых процессов в твердых телах используется уравнение теплопроводности, являющееся дифференциальным уравнением второго порядка в частных производных и описывающее распределение температур в некой заданной области пространства.

Основной целью данной работы является аналитическое решение уравнения теплопроводности для задачи о тепловыделении и сравнение результатов полученного решения с численным решением в COMSOL путем его визуализации в Python.



### Постановка математической задачи

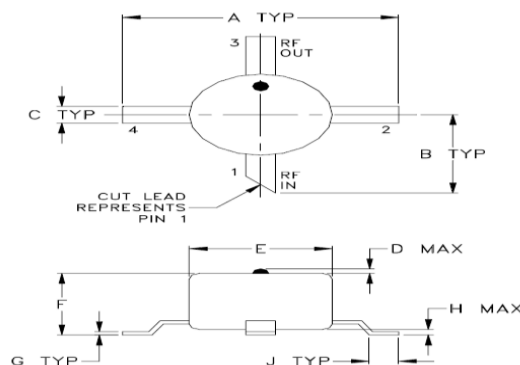


Рис. 1. Корпус усилителя

В качестве моделируемого устройства был выбран усилитель MAV-11SM (Рис. 1), который для упрощения моделирования был представлен в виде цилиндра высотой  $H_a = 4$  мм и диаметром  $R_a = 2,8$  мм с теплопроводностью  $k$ . Количество теплоты, создаваемое в результате работы этого устройства, было вычислено по данным из технической документации и составило  $q_v = 1,56 \cdot 10^7$  Вт/м<sup>3</sup>. Примем, что нижнее основание цилиндра теплоизолировано, а верхнее основание и боковая поверхность находятся при стандартной температуре  $T_a = 298$ К (20°C). Будем рассматривать стационарное состояние системы.

#### Решение уравнения теплопроводности

Учитывая геометрию рассматриваемого тела, разумно записать уравнение теплопроводности в полярных (цилиндрических) координатах [1]:

$$\frac{1}{r} \frac{\partial}{\partial r} \left( kr \frac{\partial T}{\partial r} \right) + \frac{1}{r^2} \frac{\partial}{\partial \varphi} \left( kr \frac{\partial T}{\partial \varphi} \right) + \frac{\partial}{\partial z} \left( kr \frac{\partial T}{\partial z} \right) + q_v = \rho C_p \frac{\partial T}{\partial t} \quad (1)$$

Считая, что нагрев не зависит от угла поворота, а также предполагая однородность материала корпуса (из этого следует независимость  $k$  от координат), запишем дифференциальное уравнение с граничными условиями:

$$\frac{1}{r} \frac{\partial}{\partial r} \left( r \frac{\partial T}{\partial r} \right) + \frac{\partial^2 T}{\partial z^2} + \frac{q_v}{k} = 0, \quad (2)$$

$$\begin{aligned} T(R_a; z) &= T_a \\ T(r; H_a) &= T_a \\ T_z(r; 0) &= 0 \\ T_r(0; z_a) &= 0 \end{aligned} \quad (3)$$

где  $z_a$  – некая точка на оси  $z$ .

Решение данного уравнения будем искать в виде:

$$T(r, z) = u(r, z) + \varphi(r) \quad (4)$$

Подставляя (4) в (2) и разделяя функции [2], получим:



$$\frac{\partial^2 u}{\partial r^2} + \frac{1}{r} \frac{\partial u}{\partial r} + \frac{\partial^2 u}{\partial z^2} = -\frac{d^2 \varphi}{dr^2} - \frac{\partial \varphi}{dr} - \frac{q_v}{k} \quad (5)$$

Приравняв правую часть к нулю и решив полученное уравнение, получим:

$$\varphi(r) = -\frac{q_v r^2}{4k} + \frac{q_v R_a^2}{4k} + T_a \quad (6)$$

Приравнивая левую часть к нулю, представим  $u(r, z)$  в виде:

$$u(r, z) = R(r) \cdot Z(z) \quad (7)$$

Подставляя (7) в левую часть (5) и разделяя функции [3], получим:

$$\frac{R''(r)}{R(r)} + \frac{1}{r} \frac{R'(r)}{R(r)} = -\frac{Z''(z)}{Z(z)} = -\lambda, \quad (8)$$

где  $\lambda$  – константа разделения.

Решая левую и правую части уравнения (8) по отдельности, а затем комбинируя найденные решения, получим:

$$u(r, z) = \sum_{j=1}^{\infty} A_j \left( e^{\frac{\alpha_j z}{R_a}} + e^{-\frac{\alpha_j z}{R_a}} \right) J_0\left(\frac{\alpha_j r}{R_a}\right), \quad (9)$$

где  $J_0$  – функция Бесселя первого рода нулевого порядка,  $\alpha_j$  – корни уравнения

$$J_0(\alpha_j) = 0.$$

Коэффициент  $A_j$  найдем по известным формулам из [4]:

$$A_j = -\frac{q_v R_a^2 J_2(\alpha_j)}{k \cdot \left( e^{\frac{\alpha_j H_a}{R_a}} + e^{-\frac{\alpha_j H_a}{R_a}} \right) \cdot J_1^2(\alpha_j) \cdot \alpha_j^2} \quad (10)$$

Итак, полученное решение имеет вид:

$$T(r, z) = T_a - \frac{q_v r^2}{4k} + \frac{q_v R_a^2}{4k} + \sum_{j=1}^{\infty} A_j \left( e^{\frac{\alpha_j z}{R_a}} + e^{-\frac{\alpha_j z}{R_a}} \right) J_0\left(\frac{\alpha_j r}{R_a}\right) \quad (11)$$

### Сравнение численного и аналитического решений

Для проверки правильности решения поставленной задачи было произведено численное моделирование с поставленными исходными данными в среде COMSOL Multiphysics, а также построение графиков аналитического решения при помощи Python для дальнейшего анализа.



На Рис. 2 можно наблюдать хорошую сходимость результатов обоих решений при разных значениях коэффициента теплопроводности.

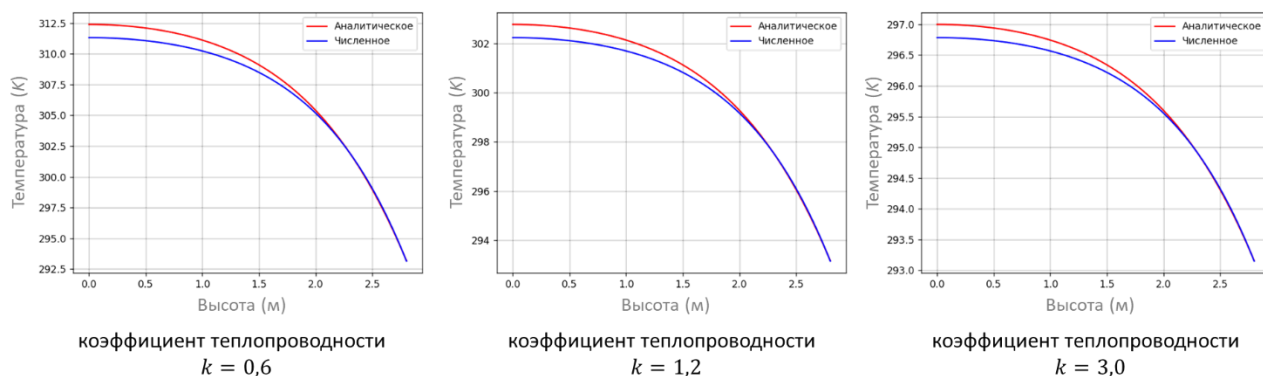


Рис. 2. Зависимость температуры от высоты компонента  $T(0;z)$  при различных коэффициентах теплопроводности

### Выводы

Было получено аналитическое решение стационарного уравнения теплопроводности в цилиндрической системе координат для заданных граничных условий. Данное решение было визуализировано при помощи Python для проведения сравнительного анализа полученного аналитического решения с численным решением задачи о тепловыделении, сделанным в COMSOL Multiphysics. По результатам построения обоих методов графически показана идентичность найденного аналитического решения и численного расчета при задании различных коэффициентов теплопроводности.

### Список литературы:

1. <https://ocw.mit.edu/courses/3-185-transport-phenomena-in-materials-engineering-fall-2003/> (дата обращения: 25.05.23)
2. <https://personal.math.ubc.ca/~israel/m316/nonhomog.pdf> (дата обращения: 25.05.23)
3. [https://math.berkeley.edu/~arash/54/notes/n4\\_5.pdf](https://math.berkeley.edu/~arash/54/notes/n4_5.pdf) (дата обращения: 25.05.23)
4. <https://www2.math.upenn.edu/~rimmer/math241/ch12sc6frbess.pdf> (дата обращения: 25.05.23)

